

passar lista de presença

Resumo da aula anterior:

Bombamentos no regime viscoso

$$Q = -V \frac{dP}{dt}$$

$$Q = CAP$$

$$C = \frac{\pi}{128\eta} \frac{D^4 \bar{P}}{L} = E \bar{P}$$

$$S_{ef} = \frac{S_b C}{S_b + C}$$

$$Q = P S_{ef} = \frac{P S_b E \bar{P}}{S_b + E \bar{P}}$$

$$\bar{P} = \frac{P + P_b}{2}$$

$$\frac{dP}{dt} \frac{2V}{E} - \frac{V^2 E}{S_b^2} \left(\frac{dP}{dt} \right)^2 + \bar{P}^2 = 0$$

$$\frac{t}{V} = \frac{1}{E} \left[\frac{1}{P} - \frac{1}{P_i} \right] + \frac{1}{S_b} \left[\frac{((S_b/E)^2 + P^2)^{1/2}}{P} - \frac{((S_b/E)^2 + P_i^2)^{1/2}}{P_i} \right] + \frac{1}{S_b} \left(\ln \frac{P_i + ((S_b/E)^2 + P_i^2)^{1/2}}{P + ((S_b/E)^2 + P)^{1/2}} \right)$$

MOSTRAR GRÁFICO:

$[S_b \times t/V]$

parâmetro geométrico

$$\frac{D^4}{L} = \frac{128\eta E}{\pi}$$

para $L \rightarrow 0$ cm $E \rightarrow \infty$ então

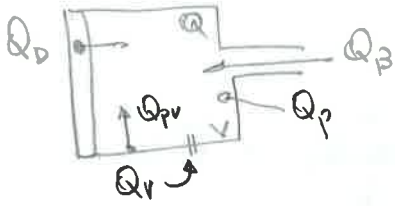
$$\frac{t}{V} = \frac{1}{S_b} \ln \frac{P_i + P_i}{P + P} \Rightarrow \boxed{\frac{t}{V} = \frac{1}{S_b} \ln \frac{P_i}{P}}$$

$$\boxed{P = P_i e^{-\frac{S_b}{V} t}}$$

Bombeamento no Regime Molecular

$$|DP| \leq 10^{-2} \text{ Torr em}$$

fontes de gases



$$Q_G = Q_v + Q_{pv} + Q_B + Q_P + Q_D$$

$$Q_G = \sum_i Q_i$$

Equação Geral

$$-V \frac{dP}{dt} = PS - \sum_i Q_i$$

Depois de um longo tempo $\frac{dP}{dt} \sim 0$

então $PS = \sum_i Q_i$

logo

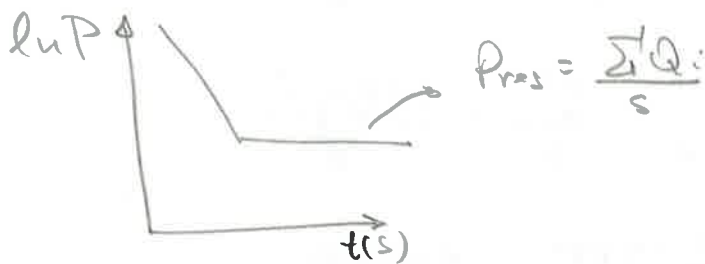
$$P_{res} = \frac{\sum_i Q_i}{S}$$

Fontes de gases

Velocidade de bombeamento

Resolvendo a equação diferencial

$$P = P_0 e^{-\frac{S}{V}t} + P_{res}$$



Constante de bombeamento $S = V/s$

$T_{1/2}$ $P = \frac{P_0}{2}$ substituindo $\frac{P_0}{2} = P_0 e^{-\frac{S}{V}t} \Rightarrow \frac{1}{2} = e^{-\frac{S}{V}t}$

$$2^{-1} = e^{-\frac{S}{V}t}$$

$$-\ln 2 = -\frac{S}{V}t \Rightarrow t = \frac{V}{S} \ln 2$$

$$T_{1/2} = \frac{V}{S} \ln 2$$

Perfil da Pressão ao longo do tubo

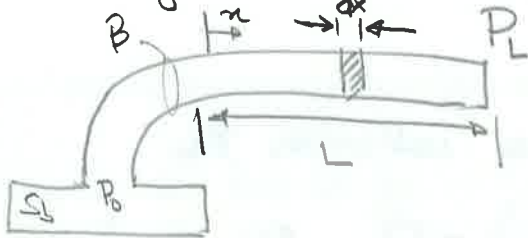
(2)

A. Roth

Na condição estacionária

$$\boxed{Pres = \frac{\sum_i Q_i}{S}} ; \boxed{Q_G = \sum_i Q_i}$$

A condição estacionária é caracterizada por um gradiente da pressão ao longo do tubo.



Considerando uma bomba bombando um tubo, de condutância C , fechado na outra extremidade.

Seja q a taxa de desgasificação $\left[\frac{\text{Torr} \cdot \text{l}}{\text{s}} \frac{1}{\text{cm}^2} \right]$

$$-dQ = q B dx \quad (I) \quad B \text{ é o perímetro do tubo.}$$

O sinal negativo indica que o fluxo se desloca para valores negativos de x .

O throughput que passa por um elemento de comprimento dx é dado por:

$$\text{Como } Q = C \Delta P$$

$$\boxed{Q = C dP \frac{L}{dx}}$$

Podemos escrever:

$$dQ = C L \frac{d^2 P}{dx^2} dx \quad (II)$$

$$\frac{d^2P}{dx^2} = \frac{dQ}{dx} \frac{1}{CL} ; \text{ mas } \frac{dQ}{dx} = -qB \text{ eq. (I)}$$

então $\boxed{\frac{d^2P}{dx^2} = -\frac{qB}{CL}}$

integrando em x

$$\frac{dP}{dx} = -\frac{qB}{CL} x + k_1$$

condição de contorno para calcular k_1

no final do tubo $\left. \frac{dP}{dx} \right|_{x=L} = 0$ em $x=L$

então $k_1 = \frac{qB}{C}$

logo $\frac{dP}{dx} = -\frac{qB}{CL} x + \frac{qB}{C}$

integrando novamente

$$P_x = -\frac{qB}{CL} \frac{x^2}{2} + \frac{qB}{C} x + k_2$$

condição de contorno que permite calcular k_2

Na boca do tubo $x=0$; $P = P_0$

então $k_2 = P_0$

mas $Q = PS$ e $Q = qA$

área do tubo

então $P_0 = \frac{qA}{S}$

$$\boxed{P_0 = \frac{qBL}{S_0}}$$

$$\text{então } P_x = q B \left[\frac{L}{S_b} + \frac{x}{C} - \frac{x^2}{2LC} \right]$$

(3)

O perfil da pressão segue uma parábola com concavidade para baixo.

A queda da pressão será dada por:

$$P_x - P_0 = q B \left[\frac{x}{C} - \frac{x^2}{2LC} \right]$$

pois $P_0 = \frac{qBL}{S_b}$

para P_L , vem:

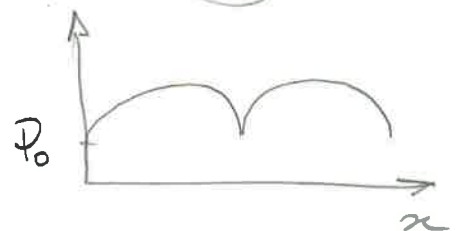
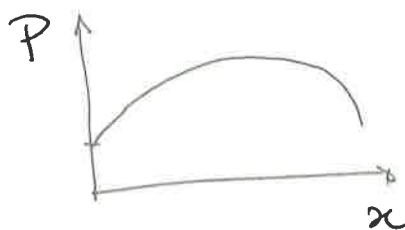
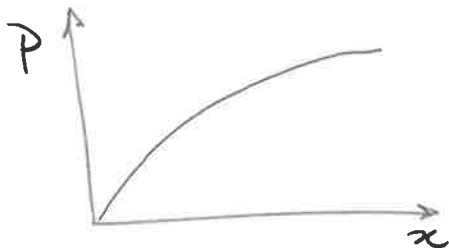
$$P_L - P_0 = q B \left[\frac{L}{C} - \frac{L^2}{2LC} \right] = \frac{qBL}{2C}$$

$$\therefore P_L - P_0 = \frac{qBL}{2C}$$

Independente da pressão.

Devido a esse resultado para se bombear tubos muito longos (Pelletron, RHIC, LHC) deve-se colocar um grande número de bombas ao longo do duto!!

MOSTRAR TRANSPARENCIAS



Vazamentos

(4)

Modelos de técnicas de detecção

Tópicos a serem abordados

- (a) vazamento real (cte)
- (b) vazamento virtual (dependente do tempo)
- (c) Dimensões dos vazamentos
- (d) Outras fontes de gases.

- Q permeação
- Q difusão
- Q desgasificação

Regime viscoso

$$S_{ef} = \frac{S_b C_{viscoso}}{S_b + C_{viscoso}}$$

$$S_{ef} \approx S_b$$

Regime molecular

$$S_{ef} = \frac{C_{molecular} S_b}{S_b + C_{molecular}}$$

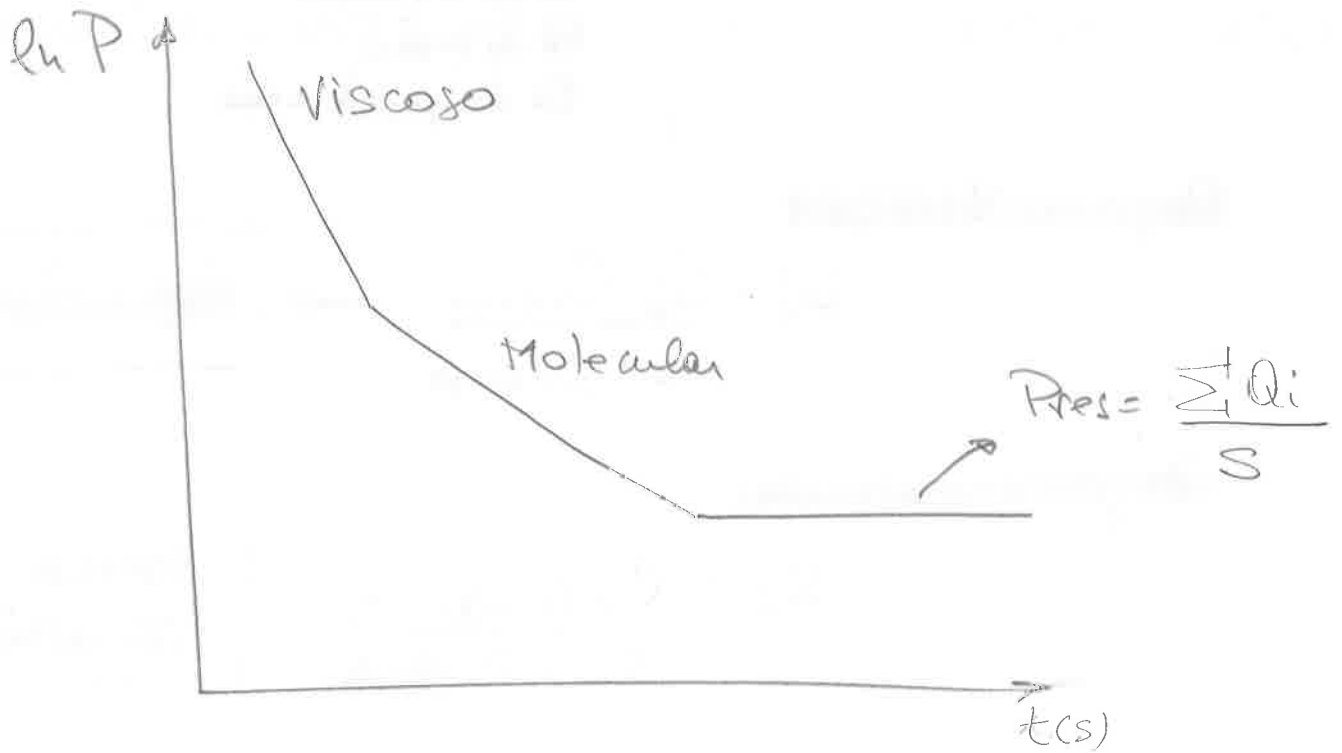
Depende da condutância

Como a velocidade da bomba muda com o regime de escoamento, então o gráfico mono-log que descreve $P(t)$ deve apresentar duas retas com constantes de tempo do sistema diferentes

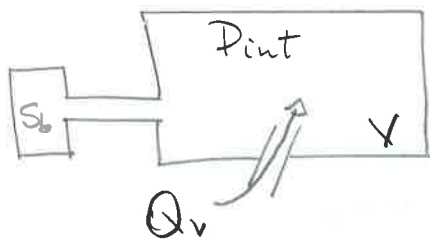
$$\tau = V/S$$

$$P = P_0 e^{-\frac{s}{v} t}$$

$$P = P_0 e^{-t/\tau_0}$$



VAZAMENTO REAL



Suponha um sistema conectado à pressão externa (ambiente) através de uma abertura de geometria variável.

O throughput (Q) pode ser relacionado à condutância dessa abertura ou ranhura através da equação:

$$Q = C \Delta P \rightarrow Q = C (P_{ext} - P_{int})$$

Supondo um único vazamento no sistema, temos que a pressão residual será:

$$P_{res} = \frac{\sum_i Q_i}{S} \rightarrow P_{res} = \frac{Q_v}{S}, \quad \boxed{Q_v = C P_{ext}}$$

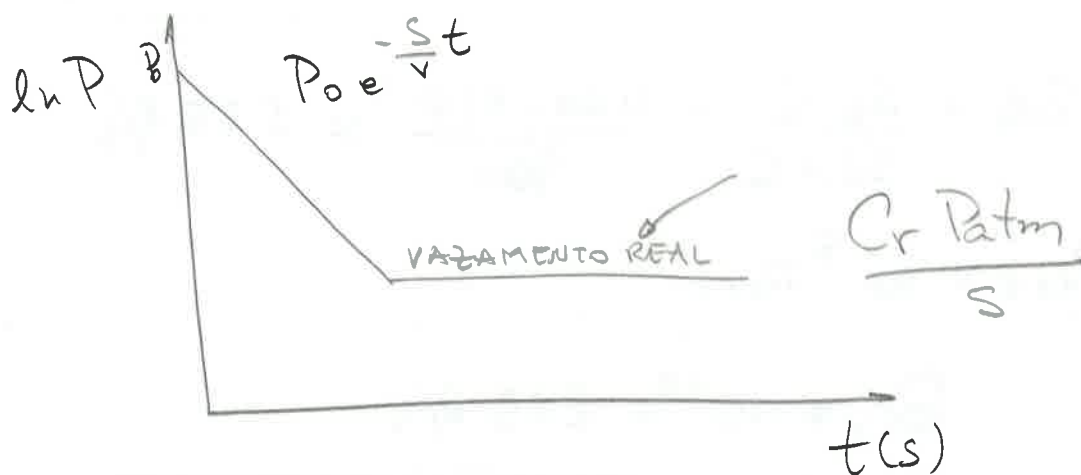
Na maioria dos casos

$$P_{res} \approx \frac{C P_{ext}}{S}$$

pois $P_{ext} \gg P_{int}$

então $\boxed{P_{res} = \frac{C_r P_{atm}}{S}}$

C_r é a condutância do vazamento real



EXEMPLO:

Bomba difusora de 4" (10,2 cm)

11. 11.11

$$P_{\text{sistema}} \approx 10^{-6} \text{ Torr}$$

$$\text{Considerando} \\ C \approx S_B$$

Suponha que a pressão não diminua abaixo de 10^{-5} Torr devido a um vazamento real. Estime a abertura equivalente desse orifício

$$P_{\text{res}} = \frac{\sum_i Q_i}{S}$$

desprezando as outras fontes de vazamento

$$P_{\text{res}} = \frac{Q_{\text{VAZAMENTO}}}{S_{\text{ef bomba difusora}}}$$

$$S_{BD} = 50\% C_0$$

C_0 é a condutância de uma abertura circular

$$C_0 = 9D^2 \Rightarrow S_{BD} = 4,5D^2$$

$$S_{BD} \approx 450 \text{ l/s}$$

$$C = 450 \text{ l/s}$$

considerando

$$S_{\text{ef}} = \frac{S_b C}{S_b + C} = \frac{450 \times 450}{900} \approx 225 \text{ l/s}$$

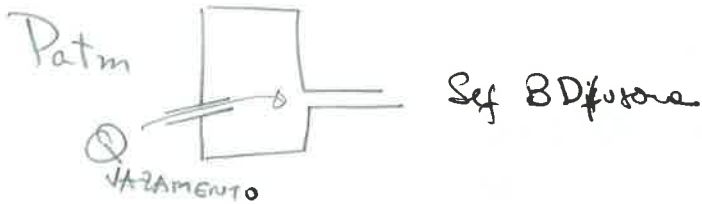
$$P_{\text{res}} = 10^{-5} \text{ Torr}$$

$$Q_v = 10^{-5} \times 225 \text{ l/s}$$

$$Q_v = 2,3 \times 10^{-3} \frac{\text{Torr l}}{\text{s}}$$

Situação:

(6)



$$\underline{P_{atm} = 700 \text{ Torr}}$$

$$Q_v = C_{\text{VAZAMENTO}} (P_{atm} - P_{\text{sistema}}) \quad P_{atm} \gg P_{\text{sistema}}$$

- No regime molecular

$$C_0 = 9D^2 \quad \text{então} \quad Q_v = 9D^2 P_{atm}$$

- No regime viscoso seria $20A$ $P_2 < 0,1 P_1$

$$\text{então} \quad C = \frac{20\pi D^2}{4} \quad \therefore C_{\text{viscoso}} = 15D^2$$

MOSTRAR TRANSPARENCIA

MESMA ORDEM DE GRANDEZA

Substituindo

$$Q_v = 2,25 \times 10^{-3} \frac{\text{Torr l}}{\text{s}}$$

$$2,25 \times 10^{-3} = 9D^2 700$$

$$\therefore D = 6 \times 10^{-4} \text{ em}$$

Esse é o tamanho da abertura

Informação

Para um sistema "sujo" a taxa de emissão de moléculas por desgasificação é da ordem de $10^{-6} \frac{\text{Torr l}}{\text{s}}$

Enquanto que um sistema limpo essa taxa é bem menor

$$10^{-9} \frac{\text{Torr l}}{\text{s}}$$

Considerando que o fluxo de massa (\dot{Q}) calculado para a abertura seja proveniente da desgasificação das paredes da câmara de $D = 20 \text{ cm}$

$$A = \pi R^2 = \pi \frac{D^2}{4} = 314 \text{ cm}^2, \text{ então}$$

$$q_v = \frac{\dot{Q}_v}{\text{area}} = \frac{2,25 \times 10^{-3} \frac{\text{Torr l}}{\text{s}}}{314} \approx 7,2 \times 10^{-6} \frac{\text{Torr l}}{\text{s cm}^2}$$

ou seja, o vazamento calculado é uma fonte de gás permanente da mesma ordem de grandeza da taxa de desgasificação de um sistema "sujo"!!

EXERCÍCIO: Qual seria o vazamento equivalente de um sistema limpo?

taxa de desgasificação

$$q = 10^{-9} \frac{\text{Torr l}}{\text{s cm}^2} \implies \dot{Q} = q A = 10^{-9} \times 314 \text{ cm}^2 = 3 \times 10^{-7} \frac{\text{Torr l}}{\text{s}}$$

$$Q_v = C_v P_{\text{atm}}$$

$$C_v = 9D^2 \text{ l/s}$$

$$P_{\text{atm}} = 760 \text{ Torr}$$

$$\text{então } 3,1 \times 10^{-7} \frac{\text{Torr l}}{\text{s}} = 9D^2 760$$

$$D^2 = 5 \times 10^{-11}$$

$$\therefore \boxed{D = 7 \times 10^{-6} \text{ cm}}$$

$$\text{760 Torr}$$

A mensagem mais importante é que os vazamentos (7)
devem ser evitados.

Exemplos de vazamentos reais:

Ranhas nas peças
falhas nas soldas
O-rings partidos ou velhos
Riscos nas peças

Como detectar vazamentos reais?

- ① Leitura dos manômetros
- ② Conhecimento prévio do sistema de vácuo
- ③ Ouvir o vazamento
- ④ Usar álcool isopropílico (seringa)
 - Inicialmente o furo é tampado pelo álcool
 - Depois a leitura aumenta muito a se ter álcool ao invés de ar.

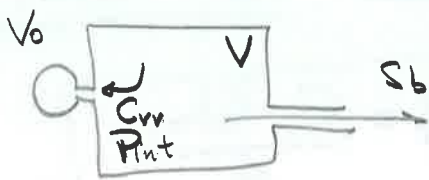
Lembrando: Medidores têm comportamentos distintos

- ⑤ Usar um detector de vazamentos
 - Espectrômetro de He

Vazamento Virtual

8

Este vazamento consiste em um volume de gás aprisionado internamente ao sistema de vácuo, sendo bombeado através de uma abertura de alta impedância contribuindo para o throughput dependente do tempo. Dessa forma, a queda de pressão do sistema como um todo é extremamente lenta.



CAVIDADE
ORIFÍCIO PEQUENO \equiv VAZAMENTO
VIRTUAL

Neste caso, $C_v \ll S_b$ C_v é a condutância da cavidade

lembrando que:

$$\left| -V \frac{dP}{dt} = Q - \sum_i Q_i \right|$$

Analogamente, podemos escrever:

$$-V_c \frac{dP_c}{dt} = Q_{vv}$$

$$Q_{vv} = C_v (P_c - P_{int})$$

$P_c \gg P_{int}$ então

$$\left| Q_{vv} = C_v P_c \right|$$

$$-V_c \frac{dP_c}{dt} = C_v P_c$$

$$\frac{dP_c}{dt} = -\frac{C_v}{V_c} P_c$$

\Rightarrow
Solução

$$\left| P_c = P_0 e^{-\frac{C_v t}{V_c}} \right|$$

A Pressão residual do sistema nesse caso será:

$$P_{res} = \frac{Q_{vv}}{S}$$

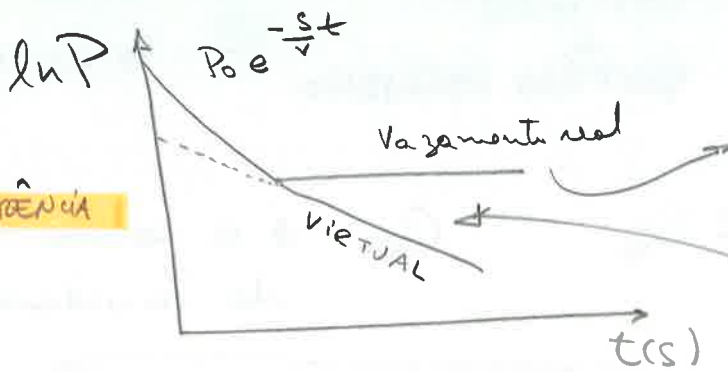
então

$$P_{res} = \frac{C_{vv} P_0}{S}$$

$$P_{res} = \frac{C_{vv} P_0'}{S} e^{-\frac{C_{vv} t}{S}}$$

$\frac{C_{vv} P_0'}{S}$ é constante!

P_0' pode ser estimado como sendo $P_0' = P_{atm}$



$$P_r = \frac{C_r P_{atm}}{S}$$

$$\frac{C_{vv} P_0'}{S} e^{-\frac{C_{vv} t}{S}}$$

CUIDADO: O vazamento virtual pode "parecer" o vazamento real.

Devemos sempre nos preocuparmos com os possíveis vazamentos virtuais afim de evitá-los

transparências { graficos ln P x t
soldas

Soldas

